

**UNCLASSIFIED**

**AD NUMBER**

**AD856475**

**NEW LIMITATION CHANGE**

**TO**

**Approved for public release, distribution  
unlimited**

**FROM**

**Distribution authorized to U.S. Gov't.  
agencies and their contractors;  
Administrative/Operational Use; JUN 1969.  
Other requests shall be referred to  
Commander, Naval Oceanographic Office,  
Washington, DC 20390.**

**AUTHORITY**

**USNOO ltr, 8 Jun 1971**

**THIS PAGE IS UNCLASSIFIED**

AD856475

NOO CONTRACT TRANS 23

DEPARTMENT OF THE NAVY  
RIO DE JANEIRO BRAZIL

LITTORAL CURRENTS PRODUCED BY THE WIND

BY

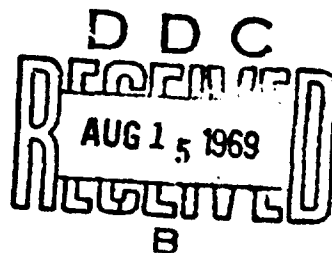
CMG PAULO DE CASTRO MOREIRA DA SILVA

PUBLICATION No. 020

OF THE

NAVAL RESEARCH INSTITUTE

- 1968 -



Translated pages 21  
Prepared under contract No 1640-9092-  
1038 for the U. S. Naval Oceano-  
graphic Office

Translated by:  
The International Translation Center, Inc.  
1346 Connecticut Ave., N.W. Suite No. 707  
Washington, D.C. 20036

Delivery Date: June 20, 1969

STATEMENT #2 UNCLASSIFIED

This document is subject to special export controls and each  
transmittal to foreign governments or foreign nationals may be  
made only with prior approval of *Naval Oceanographic Office*

*Code 4300*  
*ABN DC 20390*

## LITTORAL CURRENTS PRODUCED BY THE WIND

/1

Commander General Paulo de Castro  
Moreira da Silva

In "Dynamics of Up-welling and Applications" the author develops the classic theory of circulation produced by the wind. The wind generates, first of all, the so-called "drift" currents, in a superficial layer D, which Ekman named the "frictional resistance layer". But if the flow of the drift currents is interrupted by a barrier, such as a coast, this gives rise to a downward movement which in turn produces a system of descending currents which coexist with the former and form with them, as a result, the littoral currents. (1)

Table I makes it possible to determine the "drift" currents, at any location at sea, at depth H, at the surface, and at successive tenths of depth H. The direction (angle) is always to the left of the wind in our hemisphere. Table II makes it possible to determine the littoral currents for various wind incidences with respect to the coast, which are always measured as indicated in Fig. 1.

For all of the Tables, the depth of the location is expressed in terms of H/D; the indicated angle is to the left of the direction in which the wind is blowing, except when this is negative.

D, the "frictional resistance layer" is, according to Ekman:

$$D = \frac{3.9}{\sqrt{\operatorname{sen} \varphi}} V = d \cdot V \text{ knots}$$

and also according to Ekman, the theoretical speed of the current (which is multiplied by the coefficients given in Tables I and II in order to obtain the real value of the current) is equal to:

$$U_o = \frac{0.013}{\sqrt{\operatorname{sen} \varphi}} V = k' \cdot V \text{ knots}$$

in which V is the speed of the wind and  $\varphi$  the latitude. The author, after analyzing a long series of simultaneous wind and current observations recorded near Rio de Janeiro, found:

$$D_{\text{meters}} = \frac{2.7 V \text{ knots}}{\sqrt{\sin \psi}}$$

$$U_o = \frac{0.019 V}{\sqrt{\sin \psi}}$$

12

results which are very close to those obtained by Selleck in an independent study. For greater convenience, the curves of Fig. 2 were drawn so that they give  $k'$  and  $d$  for a wind of 1 knot at the various latitudes.

Take, for example, a coast lying at  $45^\circ$ , and a NW wind of 20 knots, for which it is desired to calculate the littoral currents from surface to bottom in a location with a depth of 46 m and a latitude of  $30^\circ$  S. From Fig. 2, we derive: (1)

$$D = 3.8 \times 20 = 76 \text{ meters}$$

$$\text{Therefore } H/D = 46/76 = 0.6$$

$$U_o = 0.026 \times 20 = 0.52 \text{ knots}$$

The incidence angle is, of course,  $270^\circ$  (Fig. 3). We have then from Table

II:

		Angle with the wind to
Surface current:	$0.86 \times 0.52 = 0.34$	$28^\circ$ the left
Current at $0.1 H$ (4.6 m)	$0.46 \times 0.52 = 0.24$	$40^\circ$ "
Current at $0.2 H$ (9.2 m)	$0.29 \times 0.52 = 0.15$	$56^\circ$ "
Current at $0.3 H$ (13.8 m)	$0.19 \times 0.52 = 0.10$	$90^\circ$ "
Current at $0.4 H$ (18.4 m)	$0.16 \times 0.52 = 0.08$	$125^\circ$ "
Current at $0.5 H$ (23 m)	$0.17 \times 0.52 = 0.09$	$153^\circ$ "
Current at $0.6 H$ (27.6 m)	$0.19 \times 0.52 = 0.10$	$169^\circ$ "
Current at $0.7 H$ (32.2 m)	$0.18 \times 0.52 = 0.09$	$177^\circ$ "
Current at $0.8 H$ (36.8 m)	$0.14 \times 0.52 = 0.07$	$180^\circ$ "
Current at $0.9 H$ (41.4 m)	$0.09 \times 0.52 = 0.05$	$180^\circ$ "

If we were merely dealing with a drift current, the values would be

(Table I):

		Angle with the wind to
Surface current:	$1.03 \times 0.52 = 0.54$	$46.5^\circ$ the left
Current at 4.6 m	$0.87 \times 0.52 = 0.45$	$57.1^\circ$ "
Current at 9.2 m	$0.73 \times 0.52 = 0.38$	$67.0^\circ$ "
Current at 13.8 m	$0.61 \times 0.52 = 0.32$	$76.3^\circ$ "
Current at 18.4 m	$0.51 \times 0.52 = 0.26$	$84.8^\circ$ "
Current at 23 m	$0.42 \times 0.52 = 0.22$	$92.0^\circ$ "
Current at 27.6 m	$0.33 \times 0.52 = 0.17$	$98.2^\circ$ "
Current at 32.2 m	$0.24 \times 0.52 = 0.13$	$102.8^\circ$ "
Current at 36.8 m	$0.16 \times 0.52 = 0.08$	$106.0^\circ$ "
Current at 41.4 m	$0.08 \times 0.52 = 0.04$	$107.9^\circ$ "

(1) In the example, the author's coefficients rather than those of Ekman were adopted.

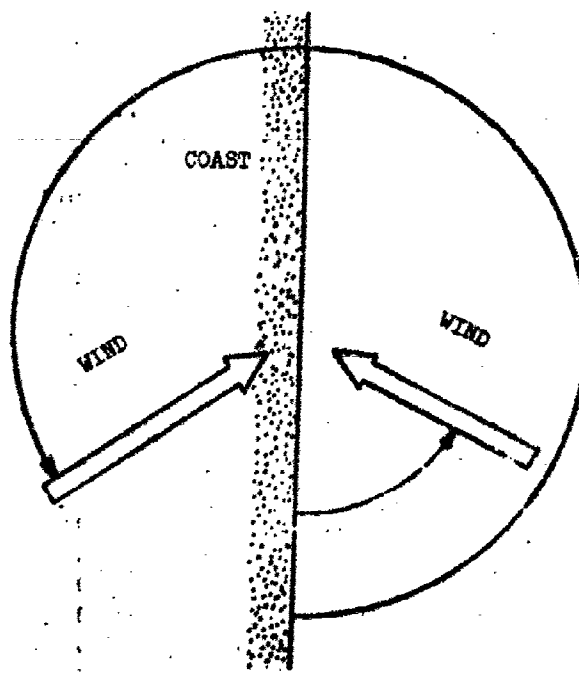
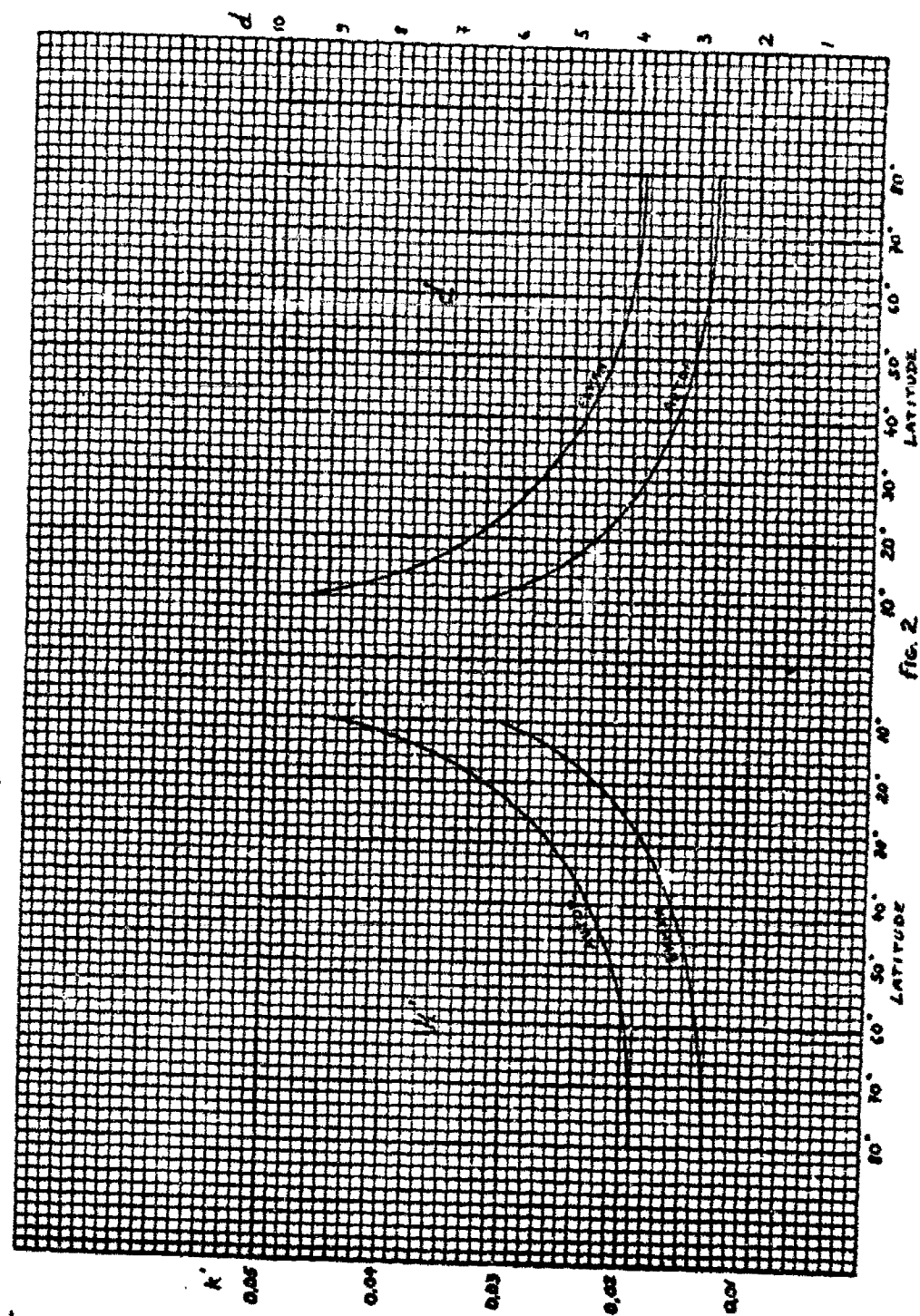


FIG. 1



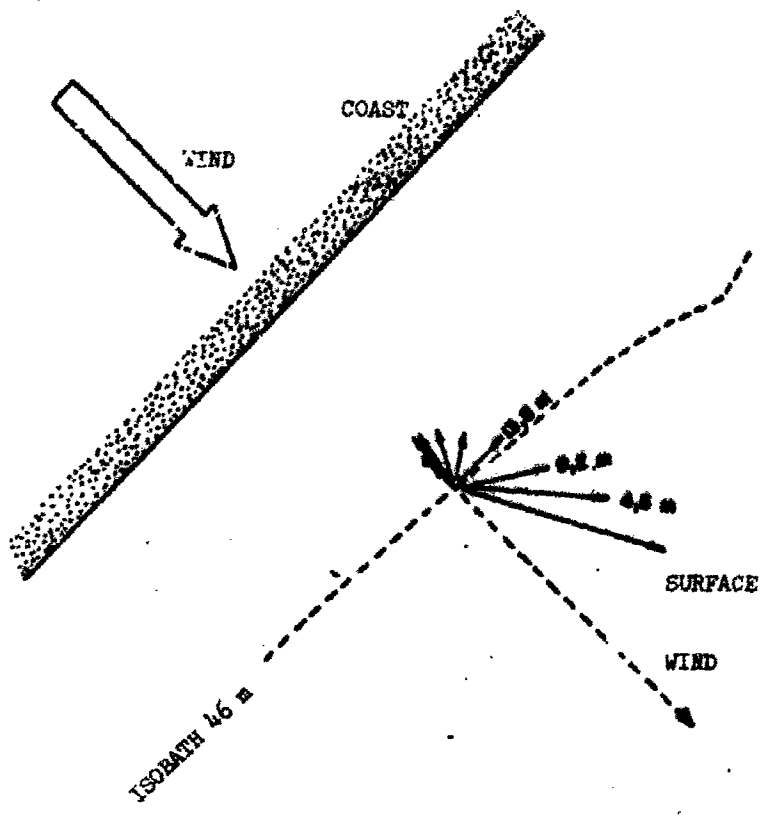


FIG. 3

TABLE I  
DRIFT CURRENTS (In terms of  $U_0$ )

H/b = n	• 1		0,9		0,8		0,7		0,6		0,5		0,4		0,3		0,2		0,1	
	LEVEL	Vol.	Ang.	Vel.	Ang.	Vel.	Ang.	Vel.	Ang.	Vel.	Ang.	Vel.	Ang.	Vel.	Ang.	Vel.	Ang.	Vel.	Ang.	
Surface	1,00	45,0	0,98	45,3	0,99	46,0	0,01	46,3	1,03	46,5	1,10	45,0	1,14	39,5	1,10	28,6	0,84	14,5	0,44	3,7
0,1	0,72	63,3	0,75	61,6	0,77	60,3	0,81	59,0	0,87	57,1	0,95	53,0	1,00	45,0	0,97	31,8	0,74	16,0	0,39	3,9
0,2	0,53	81,7	0,57	77,8	0,61	74,8	0,66	71,6	0,73	67,0	0,82	60,5	0,88	50,0	0,86	34,8	0,66	17,3	0,35	4,3
0,3	0,39	99,6	0,43	94,1	0,48	89,2	0,54	83,4	0,61	76,3	0,70	67,2	0,76	54,5	0,75	37,3	0,58	18,4	0,30	4,5
0,4	0,29	117,7	0,33	110,1	0,38	102,5	0,44	94,2	0,51	84,8	0,59	73,2	0,64	58,4	0,63	39,4	0,50	19,2	0,26	4,7
0,5	0,22	135,0	0,26	124,8	0,30	114,8	0,36	103,9	0,42	92,0	0,49	78,4	0,54	61,5	0,54	41,2	0,42	20,1	0,22	4,8
0,6	0,16	150,0	0,19	137,8	0,23	125,3	0,28	112,2	0,33	98,2	0,39	82,5	0,42	64,3	0,42	42,6	0,33	20,7	0,18	5,0
0,7	0,12	163,2	0,14	148,2	0,17	133,7	0,21	118,6	0,24	102,8	0,29	85,8	0,32	66,2	0,31	43,7	0,25	21,1	0,13	5,2
0,8	0,08	172,5	0,09	155,8	0,11	139,6	0,13	123,1	0,16	106,0	0,19	88,1	0,21	67,7	0,21	44,5	0,17	21,4	0,08	5,4
0,9	0,04	178,1	0,04	160,1	0,06	143,0	0,07	125,6	0,08	107,9	0,09	89,2	0,11	68,4	0,11	45,0	0,08	21,8	0,04	5,5

14

(The upper number is the coefficient multiplying  $U_0$ ,  
 the lower, the angle of the current with the wind, to  
 the left of it, except when negative).

- INCIDENCES  $0^\circ$  and  $180^\circ$  -

$H \setminus H_D$	1	0.9	0.8	0.7	0.6	0.5	0.4	0.3	0.2	0.1
Surface	2,90	2,55	2,53	2,57	2,36	2,10	1,72	1,33	0,88	0,44
	$16^\circ$	$15^\circ$	$12^\circ$	$10^\circ$	$8^\circ$	$6^\circ$	$4^\circ$	$2^\circ$	$0^\circ$	$0^\circ$
0.1	2,13	2,22	2,21	2,27	2,08	1,83	1,51	1,17	0,78	0,39
	$17^\circ$	$15^\circ$	$12^\circ$	$10^\circ$	$9^\circ$	$7^\circ$	$5^\circ$	$2^\circ$	$0^\circ$	$0^\circ$
0.2	1,84	1,91	1,95	2,00	1,83	1,66	1,34	1,04	0,70	0,35
	$15^\circ$	$13^\circ$	$11^\circ$	$9^\circ$	$8^\circ$	$5^\circ$	$4^\circ$	$2^\circ$	$0^\circ$	$0^\circ$
0.3	1,65	1,69	1,72	1,74	1,61	1,45	1,17	0,91	0,61	0,30
	$9^\circ$	$9^\circ$	$7^\circ$	$4^\circ$	$5^\circ$	$4^\circ$	$3^\circ$	$1^\circ$	$-1^\circ$	$0^\circ$
0.4	1,52	1,52	1,51	1,53	1,40	1,26	1,00	0,72	0,53	0,26
	$2^\circ$	$2^\circ$	$1^\circ$	$1^\circ$	$2^\circ$	$2^\circ$	$0^\circ$	$0^\circ$	$-1^\circ$	$0^\circ$
0.5	1,42	1,32	1,35	1,31	1,20	1,07	0,87	0,66	0,45	0,22
	$-6^\circ$	$-7^\circ$	$-6^\circ$	$-4^\circ$	$-3^\circ$	$-1^\circ$	$-2^\circ$	$-1^\circ$	$-3^\circ$	$0^\circ$
0.6	1,32	1,24	1,18	1,12	0,93	0,89	0,69	0,51	0,35	0,18
	$-14^\circ$	$-14^\circ$	$-14^\circ$	$-11^\circ$	$-9^\circ$	$-5^\circ$	$-5^\circ$	$-3^\circ$	$-4^\circ$	$0^\circ$
0.7	1,17	1,06	0,98	0,90	0,77	0,66	0,51	0,38	0,27	0,13
	$-22^\circ$	$-23^\circ$	$-22^\circ$	$-19^\circ$	$-16^\circ$	$-13^\circ$	$-7^\circ$	$-5^\circ$	$-4^\circ$	$0^\circ$
0.8	0,92	0,82	0,77	0,67	0,55	0,45	0,35	0,26	0,18	0,08
	$-30^\circ$	$-31^\circ$	$-30^\circ$	$-28^\circ$	$-22^\circ$	$-19^\circ$	$-11^\circ$	$-6^\circ$	$-5^\circ$	$0^\circ$
0.9	0,54	0,50	0,42	0,32	0,30	0,25	0,16	0,09	0,09	0,04
	$-39^\circ$	$-40^\circ$	$-41^\circ$	$-36^\circ$	$-29^\circ$	$-26^\circ$	$-14^\circ$	$-9^\circ$	$-6^\circ$	$0^\circ$

- INDICENCES  $10^\circ$  and  $190^\circ$  -

15

H \ D	1	0.9	0.8	0.7	0.6	0.5	0.4	0.3	0.2	0.1
Surface	2,40 $10^\circ$	2,44 $8^\circ$	2,42 $5^\circ$	2,49 $3^\circ$	2,28 $0^\circ$	2,04 $-1^\circ$	1,68 $-4^\circ$	1,30 $-5^\circ$	0,86 $-8^\circ$	0,43 $-6^\circ$
0.1	2,10 $9^\circ$	2,10 $12^\circ$	2,10 $4^\circ$	2,20 $2^\circ$	2,00 $0^\circ$	1,80 $-1^\circ$	1,48 $-4^\circ$	1,15 $-6^\circ$	0,77 $-8^\circ$	0,39 $-8^\circ$
0.2	1,72 $6^\circ$	1,80 $5^\circ$	1,85 $2^\circ$	1,93 $0^\circ$	1,78 $-2^\circ$	1,62 $-4^\circ$	1,32 $-5^\circ$	1,01 $-7^\circ$	0,68 $-9^\circ$	0,35 $-8^\circ$
0.3	1,55 $-1^\circ$	1,58 $-2^\circ$	1,63 $-3^\circ$	1,69 $-4^\circ$	1,55 $-6^\circ$	1,41 $-7^\circ$	1,15 $-6^\circ$	0,88 $-8^\circ$	0,60 $-11^\circ$	0,30 $-8^\circ$
0.4	1,44 $-9^\circ$	1,44 $-9^\circ$	1,44 $-10^\circ$	1,49 $-10^\circ$	1,35 $-10^\circ$	1,23 $-10^\circ$	0,97 $-10^\circ$	0,75 $-10^\circ$	0,52 $-12^\circ$	0,26 $-13^\circ$
0.5	1,32 $-17^\circ$	1,33 $-18^\circ$	1,30 $-17^\circ$	1,28 $-16^\circ$	1,17 $-16^\circ$	1,03 $-14^\circ$	0,85 $-12^\circ$	0,65 $-13^\circ$	0,43 $-14^\circ$	0,21 $-13^\circ$
0.6	1,30 $-25^\circ$	1,21 $-28^\circ$	1,15 $-26^\circ$	1,11 $-24^\circ$	0,92 $-22^\circ$	0,85 $-19^\circ$	0,67 $-18^\circ$	0,56 $-17^\circ$	0,34 $-16^\circ$	0,18 $-13^\circ$
0.7	1,17 $-34^\circ$	1,05 $-34^\circ$	0,98 $-34^\circ$	0,90 $-31^\circ$	0,78 $-29^\circ$	0,67 $-25^\circ$	0,50 $-21^\circ$	0,39 $-20^\circ$	0,26 $-18^\circ$	0,13 $-15^\circ$
0.8	0,93 $-41^\circ$	0,83 $-41^\circ$	0,72 $-42^\circ$	0,66 $-40^\circ$	0,56 $-36^\circ$	0,46 $-31^\circ$	0,34 $-26^\circ$	0,27 $-23^\circ$	0,17 $-20^\circ$	0,08 $-15^\circ$
0.9	0,55 $-50^\circ$	0,50 $-49^\circ$	0,44 $-50^\circ$	0,38 $-47^\circ$	0,31 $-42^\circ$	0,25 $-40^\circ$	0,11 $-29^\circ$	0,14 $-29^\circ$	0,09 $-22^\circ$	0,04 $-15^\circ$

- INCIDENCEG 20° and 200° -

$\frac{H}{H_p}$	1	0.9	0.8	0.7	0.6	0.5	0.4	0.3	0.2	0.1
Surface	2,21	2,25	2,27	2,33	2,15	1,92	1,59	1,25	0,83	0,42
	4°	2°	-1°	-4°	-7°	-9°	-11°	-13°	-16°	-14°
0.1	1,84	1,92	1,94	2,02	1,82	1,68	1,39	1,08	0,73	0,37
	2°	0°	-3°	-5°	-8°	-10°	-12°	-14°	-17°	-16°
0.2	1,51	1,63	1,70	1,78	1,65	1,52	1,23	0,96	0,65	0,33
	-2°	-4°	-6°	-9°	-10°	-12°	-14°	-15°	-19°	-18°
0.3	1,40	1,46	1,50	1,54	1,42	1,32	1,08	0,85	0,57	0,29
	-10°	-11°	-12°	-14°	-15°	-17°	-17°	-18°	-21°	-18°
0.4	1,33	1,32	1,35	1,38	1,27	1,14	0,92	0,72	0,50	0,25
	-20°	-20°	-20°	-21°	-21°	-21°	-21°	-21°	-23°	-22°
0.5	1,29	1,22	1,22	1,22	1,10	0,98	0,80	0,62	0,43	0,20
	-29°	-29°	-30°	-28°	-27°	-26°	-25°	-24°	-26°	-22°
0.6	1,22	1,15	1,19	1,06	0,92	0,82	0,65	0,50	0,34	0,17
	-37°	-37°	-38°	-35°	-35°	-32°	-30°	-29°	-30°	-28°
0.7	1,11	1,00	0,94	0,86	0,75	0,65	0,50	0,37	0,26	0,12
	-44°	-45°	-46°	-44°	-41°	-38°	-34°	-34°	-32°	-32°
0.8	0,90	0,80	0,74	0,66	0,34	0,45	0,34	0,27	0,17	0,07
	-52°	-53°	-54°	-51°	-48°	-45°	-38°	-37°	-35°	-34°
0.9	0,53	0,49	0,42	0,38	0,30	0,25	0,11	0,14	0,09	0,04
	-57	-60	-62	-60	-55	-52	-43	-42	-39	-37

- INCIDENCES 30° and 210° -

17

H \ H / D	1	0.9	0.8	0.7	0.6	0.5	0.4	0.3	0.2	0.1
Surface	1,99 - 1°	2,04 - 4°	2,03 - 7°	2,10 -10°	1,96 -14°	1,76 -17°	1,45 -18°	1,15 -20°	0,77 -23°	0,38 -21°
0.1	1,61 - 4°	1,70 - 6°	1,71 -10°	1,82 -13°	1,69 -16°	1,53 -17°	1,27 -20°	1,01 -22°	0,68 -25°	0,33 -24°
0.2	1,35 -11°	1,42 -11°	1,50 -15°	1,58 -18°	1,49 -19°	1,36 -21°	1,11 -22°	0,89 -24°	0,61 -28°	0,29 -26°
0.3	1,22 -20°	1,27 -22°	1,33 -23°	1,39 -24°	1,30 -25°	1,20 -26°	0,97 -26°	0,77 -27°	0,53 -32°	0,25 -29°
0.4	1,19 -31°	1,20 -31°	1,20 -32°	1,25 -32°	1,14 -32°	1,15 -32°	0,82 -31°	0,66 -33°	0,46 -35°	0,19 -34°
0.5	1,15 -40°	1,14 -41°	1,10 -41°	1,11 -40°	1,00 -39°	0,90 -38°	0,71 -37°	0,58 -36°	0,39 -39°	0,16 -37°
0.6	1,11 -48°	1,11 -50°	1,00 -50°	0,96 -47°	0,85 -46°	0,75 -46°	0,60 -44°	0,47 -42°	0,32 -43°	0,15 -42°
0.7	1,02 -56°	0,94 -57°	0,87 -57°	0,80 -55°	0,70 -54°	0,60 -51°	0,45 -47°	0,36 -47°	0,25 -45°	0,13 -40°
0.8	0,82 -62°	0,75 -65°	0,70 -65°	0,61 -62°	0,51 -61°	0,43 -58°	0,31 -51°	0,25 -51°	0,17 -50°	0,08 -45°
0.9	0,49 -71°	0,46 -72°	0,40 -71°	0,35 -71°	0,29 -68°	0,24 -65°	0,15 -56°	0,13 -55°	0,09 -55°	0,05 -50°

- INCIDENCES  $40^\circ$  and  $220^\circ$  -

$H \backslash H/D$	1	0.9	0.8	0.7	0.6	0.5	0.4	0.3	0.2	0.1
Surface	1,71 $-5^\circ$	1,76 $-8^\circ$	1,75 $-12^\circ$	1,82 $-16^\circ$	1,71 $-19^\circ$	1,56 $-21^\circ$	1,30 $-23^\circ$	1,02 $-26^\circ$	0,68 $-31^\circ$	0,33 $-30^\circ$
0.1	1,34 $-9^\circ$	1,42 $-12^\circ$	1,46 $-16^\circ$	1,55 $-20^\circ$	1,45 $-22^\circ$	1,34 $-24^\circ$	1,10 $-26^\circ$	1,88 $-29^\circ$	0,61 $-35^\circ$	0,30 $-45^\circ$
0.2	1,10 $-18^\circ$	1,17 $-20^\circ$	1,25 $-22^\circ$	1,34 $-26^\circ$	1,27 $-27^\circ$	1,18 $-30^\circ$	0,97 $-30^\circ$	0,78 $-32^\circ$	0,53 $-39^\circ$	0,25 $-43^\circ$
0.3	0,99 $-31^\circ$	1,05 $-22^\circ$	1,16 $-33^\circ$	1,17 $-34^\circ$	1,11 $-35^\circ$	1,05 $-35^\circ$	0,85 $-35^\circ$	0,68 $-37^\circ$	0,46 $-42^\circ$	0,20 $-43^\circ$
0.4	0,99 $-41^\circ$	1,00 $-43^\circ$	1,03 $-43^\circ$	1,06 $-43^\circ$	1,09 $-43^\circ$	0,92 $-43^\circ$	0,73 $-42^\circ$	0,59 $-43^\circ$	0,40 $-46^\circ$	0,15 $40^\circ$
0.5	0,99 $-52^\circ$	0,98 $-54^\circ$	0,96 $-53^\circ$	0,95 $-52^\circ$	0,87 $-53^\circ$	0,79 $-50^\circ$	0,65 $-49^\circ$	0,51 $-47^\circ$	0,34 $-50^\circ$	0,14 $40^\circ$
0.6	0,99 $-60^\circ$	0,94 $-61^\circ$	0,88 $-63^\circ$	0,85 $-60^\circ$	0,77 $-60^\circ$	0,67 $-58^\circ$	0,54 $-55^\circ$	0,42 $-54^\circ$	0,28 $-55^\circ$	0,12 $40^\circ$
0.7	0,90 $-67^\circ$	0,84 $-69^\circ$	0,77 $-60^\circ$	0,72 $-68^\circ$	0,64 $-67^\circ$	0,55 $-64^\circ$	0,42 $-62^\circ$	0,32 $-60^\circ$	0,28 $-59^\circ$	0,11 $-45^\circ$
0.8	0,73 $-74^\circ$	0,67 $-77^\circ$	0,62 $-77^\circ$	0,55 $-76^\circ$	0,47 $-75^\circ$	0,39 $-71^\circ$	0,30 $-68^\circ$	0,23 $-63^\circ$	0,14 $-64^\circ$	0,07 $-45^\circ$
0.9	0,44 $-82^\circ$	0,40 $-83^\circ$	0,37 $-84^\circ$	0,33 $-85^\circ$	0,28 $-81^\circ$	0,22 $-78^\circ$	0,14 $-73^\circ$	0,12 $-70^\circ$	0,07 $-70^\circ$	0,05 $-45^\circ$

- INCIDENCES 50° and 230° -

H / D	1	0.9	0.8	0.7	0.6	0.5	0.4	0.3	0.2	0.1
Surface	1,42 - 6°	1,45 -10°	1,45 -15°	1,51 -19°	1,42 -23°	1,30 -25°	1,10 -28°	0,88 -31°	0,58 -36°	0,30 -35°
0.1	1,15 -12°	1,12 -15°	1,15 -19°	1,25 -25°	1,18 -27°	1,11 -30°	0,93 -33°	0,75 -35°	0,51 -41°	0,27 -37°
0.2	0,83 -15°	0,90 -26°	0,96 -29°	1,07 -33°	1,01 -35°	0,97 -37°	0,80 -38°	0,65 -41°	0,45 -46°	0,22 -40°
0.3	0,75 -41°	0,80 -41°	0,85 -42°	0,93 -44°	0,89 -44°	0,85 -45°	0,70 -45°	0,56 -46°	0,40 -51°	0,20 -42°
0.4	0,73 -56°	0,79 -56°	0,80 -55°	0,85 -55°	0,80 -55°	0,75 -54°	0,60 -54°	0,48 -54°	0,34 -56°	0,15 -45°
0.5	0,81 -65°	0,80 -67°	0,77 -67°	0,78 -65°	0,72 -65°	0,65 -32°	0,54 -60°	0,42 -60°	0,30 -61°	0,13 -45°
0.6	0,81 -73°	0,78 -74°	0,73 -75°	0,72 -74°	0,64 -74°	0,56 -70°	0,45 -70°	0,35 -67°	0,24 -70°	0,11 -45°
0.7	0,77 -89°	0,71 -82°	0,66 -83°	0,61 -82°	0,54 -82°	0,47 -79°	0,35 -77°	0,28 -77°	0,20 -76°	0,10 -45°
0.8	0,62 -86°	0,58 -87°	0,55 -89°	0,50 -90°	0,42 -88°	0,35 -86°	0,26 -86°	0,21 -81°	0,14 -81°	0,07 -88°
0.9	0,33 -95°	0,36 -94°	0,33 -96°	0,29 -97°	0,24 -95°	0,20 -93°	0,12 -90°	0,11 -87°	0,07 -90°	0,04 -90°

- INCIDENCES 60° and 240° -

H D	1	0.9	0.8	0.7	0.6	0.5	0.4	0.3	0.2	0.1
Surface	1,13	1,13	1,14	1,18	1,13	1,04	0,87	0,34	0,45	0,24
	- 1°	- 7°	- 12°	- 19°	- 24°	- 27°	- 30°	- 70°	- 40°	- 34°
0.1	0,75	0,82	0,84	0,93	0,89	0,85	0,74	0,59	0,40	0,20
	- 8°	- 13°	- 19°	- 26°	- 30°	- 34°	- 36°	- 40°	- 45°	- 41°
0.2	0,53	0,60	0,66	0,75	0,73	0,71	0,60	0,51	0,35	0,16
	- 25°	- 28°	- 33°	- 39°	- 40°	- 43°	- 44°	- 47°	- 53°	- 47°
0.3	0,47	0,53	0,58	0,65	0,64	0,63	0,52	0,43	0,30	0,14
	- 51°	- 50°	- 51°	- 53°	- 54°	- 54°	- 54°	- 53°	- 60°	- 45°
0.4	0,55	0,55	0,56	0,62	0,59	0,55	0,45	0,37	0,27	0,15
	- 70°	- 69°	- 68°	- 68°	- 67°	- 67°	- 66°	- 76°	- 70°	- 45°
0.5	0,61	0,58	0,58	0,58	0,55	0,50	0,40	0,32	0,23	0,15
	- 80°	- 82°	- 81°	- 80°	- 79°	- 77°	- 77°	- 72°	- 78°	- 45°
0.6	0,64	0,60	0,59	0,56	0,51	0,45	0,36	0,28	0,20	0,12
	- 93°	- 89°	- 90°	- 90°	- 89°	- 87°	- 85°	- 82°	- 83°	- 45°
0.7	0,60	0,55	0,55	0,50	0,45	0,40	0,30	0,25	0,17	0,10
	- 91°	- 95°	- 97°	- 97°	- 97°	- 93°	- 92°	- 90°	- 90°	- 45°
0.8	0,50	0,46	0,44	0,41	0,34	0,29	0,22	0,12	0,05	0,06
	- 97°	- 101°	- 103°	- 104°	- 103°	- 103°	- 101°	- 107°	- 107°	- 45°
0.9	0,30	0,28	0,25	0,24	0,20	0,17	0,12	0,09	0,10	0,05
	- 104°	- 107°	- 109°	- 110°	- 108°	- 108°	- 107°	- 109°	- 99°	- 45°

- INCIDENCES  $70^\circ$  and  $250^\circ$  -

$H \backslash H$	1	0.9	0.8	0.7	0.6	0.5	0.4	0.3	0.2	0.1
Surface	0,91	0,90	0,88	0,88	0,84	0,78	0,67	0,53	0,35	0,19
	$10^\circ$	$3^\circ$	$-3^\circ$	$-11^\circ$	$-21^\circ$	$-23^\circ$	$-28^\circ$	$-32^\circ$	$-40^\circ$	$-32^\circ$
0.1	0,51	0,56	0,57	0,62	0,61	0,58	0,49	0,42	0,29	0,17
	$10^\circ$	$0^\circ$	$-7^\circ$	$-20^\circ$	$-25^\circ$	$-30^\circ$	$-33^\circ$	$-40^\circ$	$-51^\circ$	$-35^\circ$
0.2	0,21	0,31	0,32	0,45	0,45	0,45	0,39	0,33	0,24	0,13
	$-5^\circ$	$-15^\circ$	$-24^\circ$	$-37^\circ$	$-40^\circ$	$-42^\circ$	$-44^\circ$	$-50^\circ$	$-60^\circ$	$-45^\circ$
0.3	0,19	0,21	0,27	0,36	0,36	0,38	0,31	0,28	0,20	0,12
	$-64^\circ$	$-58^\circ$	$-57^\circ$	$-60^\circ$	$-62^\circ$	$-61^\circ$	$-59^\circ$	$-63^\circ$	$-73^\circ$	$-55^\circ$
0.4	0,30	0,27	0,33	0,36	0,35	0,34	0,27	0,25	0,19	0,10
	$-94^\circ$	$-90^\circ$	$-87^\circ$	$-95^\circ$	$-83^\circ$	$-81^\circ$	$-80^\circ$	$-80^\circ$	$-83^\circ$	$-11^\circ$
0.5	0,40	0,39	0,38	0,40	0,37	0,34	0,27	0,23	0,17	0,09
	$-100^\circ$	$-104^\circ$	$-102^\circ$	$-98^\circ$	$-97^\circ$	$-95^\circ$	$-92^\circ$	$-90^\circ$	$-95^\circ$	$-90^\circ$
0.6	0,44	0,43	0,41	0,41	0,36	0,34	0,27	0,23	0,16	0,06
	$-104^\circ$	$-107^\circ$	$-110^\circ$	$-108^\circ$	$-108^\circ$	$-105^\circ$	$-105^\circ$	$-104^\circ$	$-105^\circ$	$-110^\circ$
0.7	0,42	0,42	0,39	0,37	0,34	0,30	0,22	0,20	0,14	0,05
	$-108^\circ$	$-111^\circ$	$-115^\circ$	$-115^\circ$	$-114^\circ$	$-114^\circ$	$-114^\circ$	$-115^\circ$	$-113^\circ$	$-110^\circ$
0.8	0,36	0,35	0,33	0,32	0,27	0,23	0,17	0,14	0,10	0,03
	$-112^\circ$	$-115^\circ$	$-120^\circ$	$-120^\circ$	$-121^\circ$	$-122^\circ$	$-121^\circ$	$-118^\circ$	$-121^\circ$	$-115^\circ$
0.9	0,22	0,21	0,19	0,20	0,15	0,15	0,09	0,08	0,06	0,02
	$-118^\circ$	$-120^\circ$	$-124^\circ$	$-127^\circ$	$-126^\circ$	$-126^\circ$	$-131^\circ$	$-120^\circ$	$-125^\circ$	$-125^\circ$

- INCIDENCES 80° and 260° -

$\frac{H}{D}$	1	0.9	0.8	0.7	0.6	0.5	0.4	0.3	0.2	0.1
Surface	0,85 28°	0,80 22°	0,76 18°	0,70 8°	0,65 0°	0,58 -6°	0,48 -12°	0,37 -19°	0,24 -30°	0,13 -23°
0.1	0,51 42°	0,50 35°	0,46 26°	0,43 10°	0,50 2°	0,38 -10°	0,32 -17°	0,27 -27°	0,17 -41°	0,10 -40°
0.2	0,26 62°	0,25 50°	0,23 33°	0,21 7°	0,21 -9°	0,21 -25°	0,20 -30°	0,18 -41°	0,13 -59°	0,05 -45°
0.3	0,10 114°	0,06 90°	0,04 55°	0,05 -57°	0,09 -60°	0,13 -62°	0,12 -58°	0,13 -65°	0,10 -79°	0,05 -90°
0.4	0,12 -164°	0,12 -160°	0,11 -152°	0,13 -128°	0,13 -114°	0,14 -108°	0,12 -105°	0,11 -100°	0,10 -98°	0,03 -120°
0.5	0,20 -142°	0,20 -145°	0,20 -145°	0,21 -139°	0,21 -134°	0,18 -130°	0,17 -125°	0,14 -120°	0,10 -117°	0,03 -130°
0.6	0,25 -131°	0,25 -137°	0,24 -141°	0,26 -139°	0,24 -140°	0,22 -142°	0,19 -136°	0,16 -131°	0,10 -137°	0,04 -150°
0.7	0,24 -131°	0,25 -137°	0,25 -141°	0,26 -139°	0,25 -142°	0,22 -142°	0,16 -143°	0,14 -141°	0,10 -137°	0,04 -160°
0.8	0,20 -132°	0,21 -137°	0,21 -141°	0,27 -142°	0,20 -144°	0,18 -147°	0,14 -148°	0,11 -143°	0,08 -141°	0,02 -170°
0.9	0,13 -136°	0,13 -137°	0,13 -143°	0,13 -147°	0,11 -147°	0,11 -148°	0,08 -157°	0,07 -144°	0,05 -141°	0,01 -180°

- INCIDENCES 90° and 270° -

H H/ D	1	0.9	0.8	0.7	0.6	0.5	0.4	0.3	0.2	0.1
Surface	1,00	0,92	0,85	0,77	0,66	0,56	0,45	0,33	0,19	0,11
	45°	42°	38°	33°	28°	20°	16°	8°	0°	0°
0.1	0,72	0,69	0,64	0,34	0,46	0,39	0,30	0,21	0,11	0,07
	63°	58°	54°	48°	40°	30°	23°	11°	1°	0°
0.2	0,53	0,50	0,45	0,36	0,29	0,23	0,19	0,11	0,04	0,06
	82°	76°	71°	66°	56°	46°	35°	20°	0°	0°
0.3	0,39	0,36	0,34	0,25	0,19	0,14	0,11	0,04	0,00	0,05
	100°	97°	92°	90°	90°	175°	64°	53°	0°	0°
0.4	0,29	0,28	0,26	0,20	0,16	0,12	0,08	0,05	0,03	0,03
	118°	118°	114°	123°	125°	126°	132°	153°	180°	0°
0.5	0,22	0,22	0,22	0,20	0,17	0,15	0,11	0,09	0,09	0,00
	135°	139°	139°	145°	153°	159°	163°	170°	180°	0°
0.6	0,16	0,17	0,20	0,19	0,19	0,18	0,13	0,12	0,07	0,01
	150°	157°	159°	165°	169°	169°	174°	180°	180°	0°
0.7	0,12	0,14	0,16	0,18	0,18	0,17	0,13	0,13	0,06	0,02
	163°	165°	169°	174°	177°	177°	180°	-179°	180°	0°
0.8	0,08	0,10	0,12	0,15	0,14	0,14	0,10	0,10	0,05	0,02
	173°	180°	174°	180°	180°	180°	180°	180°	180°	0°
0.9	0,04	0,05	0,07	0,10	0,09	0,09	0,07	0,06	0,04	0,03
	178°	180°	180°	180°	180°	-179°	176°	180°	180°	0°

- INCIDENCES 100° and 280° -

H / D \ H	1	0.9	0.8	0.7	0.6	0.5	0.4	0.3	0.2	0.1
Surface	1,25	1,19	1,12	1,01	0,87	0,75	0,57	0,42	0,24	0,14
	58°	52°	49°	47°	43°	40°	35°	31°	30°	24°
0.1	1,00	0,98	0,92	0,83	0,71	0,60	0,45	0,32	0,18	0,12
	69°	65°	62°	59°	55°	50°	46°	41°	42°	30°
0.2	0,83	0,80	0,78	0,68	0,57	0,47	0,36	0,25	0,13	0,11
	81°	77°	74°	72°	69°	64°	59°	56°	58°	30°
0.3	0,62	0,65	0,64	0,56	0,47	0,39	0,29	0,19	0,11	0,08
	90°	87°	84°	82°	80°	77°	75°	72°	72°	45°
0.4	0,54	0,52	0,52	0,45	0,37	0,31	0,23	0,16	0,10	0,07
	95°	95°	93°	95°	94°	94°	95°	96°	90°	45°
0.5	0,41	0,40	0,40	0,37	0,31	0,27	0,22	0,15	0,09	0,05
	98°	100°	100°	102°	107°	106°	110°	112°	124°	90°
0.6	0,31	0,30	0,30	0,28	0,25	0,22	0,19	0,13	0,09	0,05
	96°	102°	105°	110°	120°	118°	125°	129°	137°	90°
0.7	0,23	0,22	0,21	0,20	0,20	0,18	0,16	0,12	0,08	0,01
	90°	100°	105°	117°	133°	130°	133°	142°	147°	170°
0.8	0,16	0,13	0,13	0,13	0,14	0,14	0,13	0,10	0,06	0,02
	77°	96°	105°	122°	141°	137°	135°	145°	154°	150°
0.9	0,09	0,06	0,07	0,08	0,07	0,07	0,08	0,06	0,04	0,02
	65°	74°	104°	129°	135°	147°	141°	148°	160°	135°

- INCIDENCES  $110^\circ$  and  $290^\circ$  -

$H \setminus H_D$	1	0.9	0.8	0.7	0.6	0.5	0.4	0.3	0.2	0.1
Surface	1,56 $54^\circ$	1,50 $53^\circ$	1,43 $51^\circ$	1,34 $50^\circ$	1,18 $47^\circ$	1,00 $45^\circ$	0,79 $42^\circ$	0,58 $39^\circ$	0,35 $40^\circ$	0,19 $35^\circ$
0.1	1,31 $66^\circ$	1,30 $64^\circ$	1,24 $61^\circ$	1,15 $60^\circ$	1,01 $56^\circ$	0,85 $54^\circ$	0,67 $51^\circ$	0,49 $47^\circ$	0,29 $48^\circ$	0,17 $40^\circ$
0.2	1,10 $75^\circ$	1,10 $72^\circ$	1,06 $70^\circ$	1,03 $67^\circ$	0,87 $65^\circ$	0,74 $62^\circ$	0,57 $60^\circ$	0,42 $56^\circ$	0,26 $56^\circ$	0,15 $47^\circ$
0.3	0,98 $80^\circ$	0,92 $78^\circ$	0,91 $75^\circ$	0,85 $73^\circ$	0,73 $72^\circ$	0,62 $70^\circ$	0,47 $70^\circ$	0,35 $67^\circ$	0,22 $67^\circ$	0,11 $60^\circ$
0.4	0,77 $80^\circ$	0,76 $80^\circ$	0,75 $79^\circ$	0,70 $79^\circ$	0,61 $78^\circ$	0,52 $78^\circ$	0,40 $78^\circ$	0,29 $79^\circ$	0,19 $79^\circ$	0,09 $90^\circ$
0.5	0,65 $79^\circ$	0,61 $79^\circ$	0,60 $80^\circ$	0,58 $81^\circ$	0,50 $82^\circ$	0,44 $84^\circ$	0,35 $84^\circ$	0,25 $87^\circ$	0,16 $90^\circ$	0,07 $100^\circ$
0.6	0,53 $77^\circ$	0,49 $77^\circ$	0,46 $79^\circ$	0,45 $81^\circ$	0,39 $85^\circ$	0,35 $90^\circ$	0,27 $95^\circ$	0,21 $109^\circ$	0,14 $97^\circ$	0,06 $115^\circ$
0.7	0,40 $65^\circ$	0,35 $70^\circ$	0,34 $75^\circ$	0,33 $81^\circ$	0,28 $86^\circ$	0,26 $95^\circ$	0,22 $101^\circ$	0,16 $110^\circ$	0,10 $105^\circ$	0,06 $120^\circ$
0.8	0,30 $55^\circ$	0,26 $60^\circ$	0,23 $66^\circ$	0,20 $80^\circ$	0,20 $90^\circ$	0,17 $102^\circ$	0,16 $105^\circ$	0,12 $115^\circ$	0,08 $113^\circ$	0,04 $125^\circ$
0.9	0,18 $45^\circ$	0,09 $45^\circ$	0,13 $60^\circ$	0,10 $77^\circ$	0,10 $90^\circ$	0,08 $110^\circ$	0,09 $111^\circ$	0,07 $120^\circ$	0,05 $122^\circ$	0,03 $135^\circ$

- INCIDENCES  $120^\circ$  and  $300^\circ$  -

$H \setminus H/D$	1	0.9	0.8	0.7	0.6	0.5	0.4	0.3	0.2	0.1
Surface	1,84 $52^\circ$	1,80 $51^\circ$	1,75 $49^\circ$	1,68 $48^\circ$	1,48 $46^\circ$	1,27 $44^\circ$	1,01 $41^\circ$	0,75 $40^\circ$	0,46 $40^\circ$	0,25 $35^\circ$
0.1	1,57 $61^\circ$	1,57 $59^\circ$	1,52 $57^\circ$	1,48 $55^\circ$	1,30 $53^\circ$	1,12 $50^\circ$	0,87 $48^\circ$	0,65 $45^\circ$	0,40 $47^\circ$	0,22 $40^\circ$
0.2	1,35 $67^\circ$	1,35 $65^\circ$	1,33 $62^\circ$	1,30 $60^\circ$	1,13 $58^\circ$	0,98 $56^\circ$	0,77 $54^\circ$	0,57 $52^\circ$	0,35 $51^\circ$	0,20 $45^\circ$
0.3	1,15 $70^\circ$	1,16 $68^\circ$	1,16 $65^\circ$	1,10 $65^\circ$	1,07 $62^\circ$	0,85 $61^\circ$	0,66 $60^\circ$	0,50 $59^\circ$	0,32 $57^\circ$	0,16 $50^\circ$
0.4	1,00 $69^\circ$	0,98 $68^\circ$	0,96 $66^\circ$	0,94 $66^\circ$	0,81 $65^\circ$	0,72 $65^\circ$	0,56 $65^\circ$	0,41 $65^\circ$	0,27 $65^\circ$	0,15 $60^\circ$
0.5	0,85 $65^\circ$	0,81 $65^\circ$	0,80 $65^\circ$	0,72 $56^\circ$	0,68 $67^\circ$	0,59 $69^\circ$	0,47 $70^\circ$	0,35 $70^\circ$	0,22 $75^\circ$	0,09 $70^\circ$
0.6	0,71 $57^\circ$	0,65 $60^\circ$	0,63 $60^\circ$	0,61 $64^\circ$	0,53 $67^\circ$	0,47 $71^\circ$	0,38 $73^\circ$	0,27 $77^\circ$	0,18 $80^\circ$	0,10 $75^\circ$
0.7	0,60 $49^\circ$	0,53 $52^\circ$	0,49 $54^\circ$	0,44 $61^\circ$	0,39 $66^\circ$	0,35 $71^\circ$	0,28 $76^\circ$	0,21 $84^\circ$	0,14 $85^\circ$	0,03 $160^\circ$
0.8	0,45 $39^\circ$	0,37 $42^\circ$	0,35 $46^\circ$	0,29 $55^\circ$	0,26 $64^\circ$	0,24 $72^\circ$	0,19 $80^\circ$	0,15 $86^\circ$	0,10 $90^\circ$	0,05 $150^\circ$
0.9	0,25 $31^\circ$	0,21 $33^\circ$	0,18 $40^\circ$	0,15 $50^\circ$	0,13 $62^\circ$	0,11 $70^\circ$	0,10 $83^\circ$	0,08 $90^\circ$	0,05 $107^\circ$	0,07 $110^\circ$

- INCIDENCES  $130^\circ$   $310^\circ$  -

$\frac{H}{D}$	1	0.9	0.8	0.7	0.6	0.5	0.4	0.3	0.2	0.1
Surface	2,10	2,07	2,02	1,96	1,75	1,53	1,21	0,92	0,59	0,30
	$48^\circ$	$47^\circ$	$45^\circ$	$43^\circ$	$42^\circ$	$40^\circ$	$38^\circ$	$36^\circ$	$35^\circ$	$33^\circ$
0.1	1,81	1,82	1,77	1,75	1,55	1,35	1,08	0,86	0,52	0,25
	$55^\circ$	$53^\circ$	$50^\circ$	$49^\circ$	$47^\circ$	$45^\circ$	$43^\circ$	$40^\circ$	$39^\circ$	$40^\circ$
0.2	1,58	1,57	1,57	1,55	1,38	1,21	0,95	0,72	0,46	0,22
	$59^\circ$	$57^\circ$	$54^\circ$	$53^\circ$	$50^\circ$	$48^\circ$	$47^\circ$	$44^\circ$	$44^\circ$	$45^\circ$
0.3	1,35	1,37	1,37	1,33	1,19	1,03	0,83	0,62	0,40	0,20
	$60^\circ$	$58^\circ$	$56^\circ$	$55^\circ$	$53^\circ$	$52^\circ$	$50^\circ$	$49^\circ$	$49^\circ$	$50^\circ$
0.4	1,16	1,17	1,16	1,14	1,01	0,88	0,70	0,52	0,35	0,15
	$57^\circ$	$56^\circ$	$55^\circ$	$55^\circ$	$54^\circ$	$54^\circ$	$54^\circ$	$52^\circ$	$52^\circ$	$55^\circ$
0.5	1,03	0,98	0,96	0,93	0,84	0,73	0,60	0,44	0,29	0,10
	$52^\circ$	$51^\circ$	$52^\circ$	$53^\circ$	$74^\circ$	$55^\circ$	$56^\circ$	$56^\circ$	$57^\circ$	$60^\circ$
0.6	0,99	0,83	0,79	0,75	0,60	0,58	0,46	0,35	0,23	0,02
	$44^\circ$	$45^\circ$	$46^\circ$	$50^\circ$	$53^\circ$	$56^\circ$	$58^\circ$	$60^\circ$	$62^\circ$	$65^\circ$
0.7	0,76	0,62	0,62	0,56	0,48	0,44	0,35	0,26	0,17	0,03
	$36^\circ$	$37^\circ$	$39^\circ$	$44^\circ$	$48^\circ$	$56^\circ$	$58^\circ$	$62^\circ$	$67^\circ$	$70^\circ$
0.8	0,59	0,48	0,41	0,39	0,33	0,29	0,23	0,18	0,11	0,04
	$26^\circ$	$28^\circ$	$30^\circ$	$37^\circ$	$45^\circ$	$55^\circ$	$59^\circ$	$62^\circ$	$70^\circ$	$65^\circ$
0.9	0,33	0,30	0,25	0,21	0,17	0,13	0,11	0,10	0,06	0,06
	$19^\circ$	$18^\circ$	$25^\circ$	$30^\circ$	$38^\circ$	$56^\circ$	$61^\circ$	$62^\circ$	$70^\circ$	$65^\circ$

- INCIDENCES  $140^\circ$  and  $320^\circ$  -

$\frac{H}{D}$	1	0.9	0.8	0.7	0.6	0.5	0.4	0.3	0.2	0.1
Surface	2,30	2,31	2,25	2,21	2,00	1,74	1,41	1,07	0,69	0,35
	$42^\circ$	$41^\circ$	$40^\circ$	$37^\circ$	$36^\circ$	$34^\circ$	$32^\circ$	$30^\circ$	$30^\circ$	$25^\circ$
0.1	2,00	2,02	2,00	1,97	1,76	1,54	1,24	0,94	0,60	0,30
	$48^\circ$	$46^\circ$	$43^\circ$	$42^\circ$	$40^\circ$	$38^\circ$	$36^\circ$	$34^\circ$	$33^\circ$	$30^\circ$
0.2	1,74	1,74	1,76	1,75	1,56	1,39	1,11	0,83	0,58	0,20
	$50^\circ$	$48^\circ$	$45^\circ$	$44^\circ$	$42^\circ$	$40^\circ$	$38^\circ$	$38^\circ$	$34^\circ$	$40^\circ$
0.3	1,51	1,52	1,55	1,51	1,36	1,20	0,96	0,78	0,48	0,17
	$49^\circ$	$48^\circ$	$45^\circ$	$45^\circ$	$43^\circ$	$42^\circ$	$41^\circ$	$40^\circ$	$38^\circ$	$45^\circ$
0.4	1,33	1,32	1,30	1,29	1,16	1,03	0,80	0,61	0,41	0,14
	$45^\circ$	$45^\circ$	$44^\circ$	$44^\circ$	$43^\circ$	$43^\circ$	$44^\circ$	$43^\circ$	$41^\circ$	$45^\circ$
0.5	1,18	1,13	1,12	1,07	0,97	0,85	0,68	0,52	0,34	0,12
	$40^\circ$	$40^\circ$	$40^\circ$	$41^\circ$	$42^\circ$	$43^\circ$	$44^\circ$	$44^\circ$	$44^\circ$	$45^\circ$
0.6	1,15	0,95	0,92	0,89	0,72	0,68	0,53	0,40	0,27	0,10
	$31^\circ$	$32^\circ$	$34^\circ$	$35^\circ$	$38^\circ$	$42^\circ$	$45^\circ$	$44^\circ$	$46^\circ$	$45^\circ$
0.7	0,90	0,80	0,75	0,68	0,58	0,50	0,40	0,30	0,20	0,07
	$23^\circ$	$24^\circ$	$25^\circ$	$30^\circ$	$34^\circ$	$41^\circ$	$45^\circ$	$45^\circ$	$49^\circ$	$45^\circ$
0.8	0,70	0,60	0,55	0,47	0,40	0,34	0,22	0,21	0,13	0,06
	$14^\circ$	$16^\circ$	$17^\circ$	$23^\circ$	$30^\circ$	$37^\circ$	$45^\circ$	$45^\circ$	$49^\circ$	$45^\circ$
0.9	0,40	0,36	0,30	0,25	0,22	0,17	0,09	0,10	0,06	0,02
	$4^\circ$	$6^\circ$	$11^\circ$	$16^\circ$	$24^\circ$	$33^\circ$	$45^\circ$	$45^\circ$	$49^\circ$	$45^\circ$

- INCIDENCES  $150^\circ$  and  $330^\circ$  -

$H \setminus H/D$	1	0.9	0.8	0.7	0.6	0.5	0.4	0.3	0.2	0.1
Surface	2,45	2,48	2,41	2,40	2,18	1,90	1,54	1,16	0,76	0,38
	$36^\circ$	$35^\circ$	$33^\circ$	$31^\circ$	$29^\circ$	$28^\circ$	$26^\circ$	$24^\circ$	$23^\circ$	$25^\circ$
0.1	2,32	2,17	2,14	2,15	1,93	1,69	1,37	1,04	0,68	0,35
	$40^\circ$	$38^\circ$	$36^\circ$	$34^\circ$	$32^\circ$	$30^\circ$	$28^\circ$	$26^\circ$	$25^\circ$	$25^\circ$
0.2	1,84	1,88	1,90	1,90	1,72	1,53	1,22	0,93	0,60	0,32
	$41^\circ$	$40^\circ$	$37^\circ$	$35^\circ$	$33^\circ$	$31^\circ$	$30^\circ$	$28^\circ$	$27^\circ$	$25^\circ$
0.3	1,61	1,62	1,62	1,65	1,50	1,33	1,06	0,81	0,53	0,27
	$40^\circ$	$38^\circ$	$36^\circ$	$35^\circ$	$33^\circ$	$33^\circ$	$31^\circ$	$30^\circ$	$29^\circ$	$32^\circ$
0.4	1,46	1,42	1,42	1,42	1,27	1,14	0,90	0,68	0,46	0,23
	$34^\circ$	$34^\circ$	$33^\circ$	$33^\circ$	$32^\circ$	$33^\circ$	$32^\circ$	$32^\circ$	$30^\circ$	$32^\circ$
0.5	1,30	1,25	1,22	1,19	1,08	0,94	0,76	0,58	0,38	0,22
	$28^\circ$	$28^\circ$	$28^\circ$	$29^\circ$	$30^\circ$	$31^\circ$	$32^\circ$	$33^\circ$	$32^\circ$	$35^\circ$
0.6	1,16	1,08	1,02	1,00	0,85	0,76	0,59	0,45	0,30	0,17
	$20^\circ$	$20^\circ$	$21^\circ$	$24^\circ$	$26^\circ$	$30^\circ$	$32^\circ$	$33^\circ$	$33^\circ$	$38^\circ$
0.7	1,01	0,90	0,84	0,77	0,65	0,57	0,45	0,34	0,23	0,12
	$11^\circ$	$12^\circ$	$13^\circ$	$17^\circ$	$21^\circ$	$26^\circ$	$31^\circ$	$32^\circ$	$34^\circ$	$40^\circ$
0.8	0,79	0,70	0,64	0,54	0,45	0,38	0,30	0,18	0,15	0,08
	$2^\circ$	$4^\circ$	$5^\circ$	$10^\circ$	$16^\circ$	$21^\circ$	$31^\circ$	$30^\circ$	$36^\circ$	$40^\circ$
0.9	0,46	0,41	0,35	0,30	0,24	0,18	0,14	0,12	0,07	0,04
	$-6^\circ$	$-6^\circ$	$-5^\circ$	$-3^\circ$	$8^\circ$	$17^\circ$	$29^\circ$	$30^\circ$	$40^\circ$	$40^\circ$

- INCIDENCES 160° and 340° -

$\frac{H}{D}$	1	0.9	0.8	0.7	0.6	0.5	0.4	0.3	0.2	0.1
Surface	2,52 29°	2,57 28°	2,52 26°	2,53 24°	2,30 22°	2,02 20°	1,66 19°	1,27 17°	0,82 15°	0,41 16°
0.1	2,20 32°	2,23 30°	2,22 28°	2,25 26°	2,05 25°	1,77 23°	1,41 20°	1,13 18°	0,73 17°	0,37 17°
0.2	1,90 32°	1,93 30°	1,97 28°	2,00 26°	1,82 25°	1,61 23°	1,31 21°	1,00 20°	0,66 18°	0,29 18°
0.3	1,62 29°	1,70 28°	1,74 26°	1,73 25°	1,59 24°	1,40 23°	1,14 22°	0,82 21°	0,57 20°	0,30 20°
0.4	1,52 23°	1,50 24°	1,50 22°	1,50 22°	1,36 22°	1,20 21°	0,21 22°	0,74 21°	0,50 20°	0,25 22°
0.5	1,40 16°	1,33 16°	1,30 16°	1,22 15°	1,15 18°	1,00 20°	0,82 20°	0,63 21°	0,42 21°	0,22 25°
0.6	1,25 8°	1,17 8°	1,10 9°	1,04 8°	0,93 13°	0,81 17°	0,65 19°	0,49 20°	0,33 21°	0,18 26°
0.7	1,10 0°	0,99 0°	0,92 1°	0,86 4°	0,73 8°	0,62 14°	0,49 18°	0,35 20°	0,25 21°	0,13 28°
0.8	0,86 - 9°	0,76 - 8°	0,70 - 7°	0,61 - 3°	0,50 2°	0,41 9°	0,32 15°	0,25 18°	0,16 21°	0,04 40°
0.9	0,50 -17°	0,45 -16°	0,40 -15°	0,33 - 9°	0,27 - 5°	0,20 2°	0,15 15°	0,13 16°	0,08 21°	0,10 32°

- INCIDENCES  $170^{\circ}$  and  $350^{\circ}$  -

/21

$H \setminus H/d$	1	0.9	0.8	0.7	0.6	0.5	0.4	0.3	0.2	0.1
Surface	2,56	2,59	2,56	2,58	2,36	2,09	1,71	1,32	0,96	0,42
	$23^{\circ}$	$21^{\circ}$	$19^{\circ}$	$17^{\circ}$	$15^{\circ}$	$13^{\circ}$	$11^{\circ}$	$9^{\circ}$	$7^{\circ}$	$7^{\circ}$
0.1	2,20	2,26	2,24	2,30	2,10	1,85	1,51	1,17	0,76	0,38
	$24^{\circ}$	$23^{\circ}$	$20^{\circ}$	$18^{\circ}$	$16^{\circ}$	$14^{\circ}$	$12^{\circ}$	$10^{\circ}$	$8^{\circ}$	$7^{\circ}$
0.2	1,90	1,95	2,00	2,02	1,85	1,68	1,35	1,04	0,68	0,34
	$23^{\circ}$	$22^{\circ}$	$20^{\circ}$	$18^{\circ}$	$16^{\circ}$	$14^{\circ}$	$13^{\circ}$	$10^{\circ}$	$8^{\circ}$	$8^{\circ}$
0.3	1,68	1,71	1,77	1,77	1,62	1,41	1,18	0,92	0,60	0,29
	$19^{\circ}$	$18^{\circ}$	$16^{\circ}$	$15^{\circ}$	$14^{\circ}$	$13^{\circ}$	$13^{\circ}$	$10^{\circ}$	$9^{\circ}$	$10^{\circ}$
0.4	1,54	1,52	1,54	1,55	1,40	1,25	1,00	0,71	0,51	0,21
	$13^{\circ}$	$12^{\circ}$	$11^{\circ}$	$11^{\circ}$	$11^{\circ}$	$11^{\circ}$	$12^{\circ}$	$10^{\circ}$	$10^{\circ}$	$11^{\circ}$
0.5	1,42	1,35	1,35	1,33	1,20	1,05	0,84	0,60	0,43	0,22
	$5^{\circ}$	$4^{\circ}$	$5^{\circ}$	$6^{\circ}$	$8^{\circ}$	$9^{\circ}$	$10^{\circ}$	$9^{\circ}$	$10^{\circ}$	$12^{\circ}$
0.6	1,30	1,22	1,15	1,11	0,91	0,86	0,68	0,51	0,34	0,17
	$-3^{\circ}$	$-4^{\circ}$	$-3^{\circ}$	$0^{\circ}$	$2^{\circ}$	$5^{\circ}$	$7^{\circ}$	$8^{\circ}$	$10^{\circ}$	$14^{\circ}$
0.7	1,15	1,04	0,96	0,89	0,76	0,65	0,50	0,48	0,25	0,13
	$-11^{\circ}$	$-12^{\circ}$	$-12^{\circ}$	$-7^{\circ}$	$-4^{\circ}$	$0^{\circ}$	$4^{\circ}$	$5^{\circ}$	$9^{\circ}$	$14^{\circ}$
0.8	0,91	0,80	0,75	0,65	0,55	0,45	0,33	0,25	0,17	0,08
	$-19^{\circ}$	$-20^{\circ}$	$-19^{\circ}$	$-15^{\circ}$	$-11^{\circ}$	$-5^{\circ}$	$2^{\circ}$	$3^{\circ}$	$5^{\circ}$	$14^{\circ}$
0.9	0,54	0,48	0,41	0,35	0,30	0,18	0,15	0,14	0,08	0,04
	$-27^{\circ}$	$-26^{\circ}$	$-27^{\circ}$	$-23^{\circ}$	$-17^{\circ}$	$-12^{\circ}$	$1^{\circ}$	$2^{\circ}$	$5^{\circ}$	$14^{\circ}$

**DOCUMENT CONTROL DATA - R & D**

(Security classification of title, body of abstract and indexing information must be entered when the overall report is classified)

1. ORIGINATING ACTIVITY (Exponent author) <b>The International Translation Center, Inc. 1346 Connecticut Ave., N. W. Suite No. 707 Washington, D. C. 20036</b>		2A. REPORT SECURITY CLASSIFICATION <b>UNCLASSIFIED</b>
2B. GROUP		
3. REPORT TITLE <b>"Littoral Currents Produced by the Wind" CORRENTES LITORAIS PRODUZIDAS PELO VENTO</b>		
4. DESCRIPTIVE NOTES (Type of report and inclusive dates) <b>Translation from Portuguese</b>		
5. AUTHOR(S) (First name, middle initial, last name) <b>CMG Paulo de Castro Moreira da Silva</b>		
6. REPORT DATE <b>1969</b>	7A. TOTAL NO. OF PAGES <b>25</b>	7B. NO. OF REFS <b>--</b>
8. CONTRACT OR GRANT NO. <b>N62306-69-M-2026</b>	9A. ORIGINATOR'S REPORT NUMBER(S)	
9. PROJECT NO.  d.	9B. OTHER REPORT NO(S) (Any other numbers that may be assigned this report) <b>NOO CONTRACT TRANS 23</b>	
10. DISTRIBUTION STATEMENT  Excluded from automatic distribution lists BUU		
11. SUPPLEMENTARY NOTES <b>Publication No. 020 of the Naval Research Institute, 1968</b>	12. SPONSORING MILITARY ACTIVITY <b>U. S. Naval Oceanographic Office Washington, D. C. 20390</b>	
13. ABSTRACT  _____		

DD FORM 1 NOV 1968 1473 (PAGE 1)

S/N 0101-007-6801

Security Classification

14. KEY WORDS	LINK A		LINK B		LINK C	
	ROLE	WT	ROLE	WT	ROLE	WT
1. Littoral Current 2. Littoral Drift 3. Upwelling 4. Wind Direction						

DD FORM 1 NOV 68 1473 (BACK)  
(PAGE 2)

Security Classification